

# NFGen: Automatic Non-linear Function Evaluation Code Generator for General-purpose MPC Platforms

这次介绍的论文是清华团队Xiaoyu Fan等人发表在CCS'22 [NFGen](#)。

本文针对MPC下的非线性函数计算，提出了NFGen工具包。NFGen利用离散分段多项式，自动化综合考虑后端MPC协议的开销、近似精度等指标，生成最优的近似多项式，并利用后端的MPC协议库进行计算（例如PrivPy，MP-SPDZ等）。相比于之前手动在MPC源码下直接编写近似多项式，NFGen在精度、性能等方面都有长足提升。

## 1. 问题与挑战

目前MPC在理论上虽然能够支持任意函数的计算，但是在计算复杂非线性函数，比如 $e^x$ ， $\tanh(x) = \frac{e^x - e^{-x}}{e^x + e^{-x}}$ 等，还存在很多问题：

1. **正确性与精度**：为了效率考虑，目前大多数MPC协议还是需要将浮点数（FLP）转化为定点数（FXP）进行计算。该转化不仅会引起精度的损失，在一些极端的情况下会带来溢出等错误；
2. **性能**：更重要的，MPC协议的计算性能比对应的明文计算低好几个数量级，尤其是针对复杂的非线性函数；
3. **泛化性**：即便我们可以用MPC协议内置支持的一些基本操作实现很多非线性函数，但是有些复杂的函数比如 $\gamma(x, z)$ 等还是很难去实现；
4. **可移植性**：MPC协议底层技术多样，针对不同的场景硬件环境等各种权衡复杂。如何设计面向多样化场景的最优方案是个难题。

针对上述难题，本文提出了NFGen。NFGen利用最基本的算子 $+$ ， $\times$ ， $>$ 来实现多项式近似。由于这些基本算子被广泛支持，因此可以很容易对接不同的MPC协议库。

**挑战**：针对一个非线性函数，获得一个FXP下面向MPC协议库的良好 $(k, m)$ -分段近似多项式是本文面临的最大的技术挑战，其中 $m$ 表示分段， $k$ 表示分段多项式最大的阶数（degree）：

1. **FXP下近似多项式的挑战**：1) 首先多项式需要满足FXP的值域和放缩限制，保证计算中间结果不溢出（上溢出、下溢出）；2) 其次，FXP实际上是整数，寻找一个最优的多项式是一个NP-完全的整数规划问题。因此，本文需要寻找一个合理的近似。
2.  **$m$ 和 $k$ 的权衡**： $m$ 越大，则分段越多，因此需要的比较 $>$ 也越多； $k$ 越大，则需要的乘法 $\times$ 也越多。

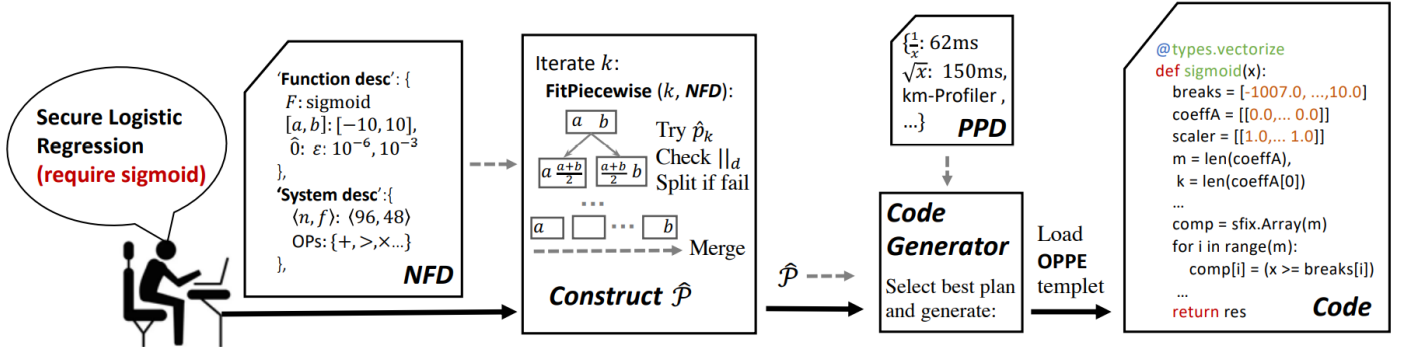


Figure 1: End-to-end Workflow of NFGen

如上图所示，NFGen工作流程如下：

1. 给定函数和系统配置文件**NFD**，NFGen首先在明文下计算函数得到候选定点数函数簇 $\hat{\mathcal{P}}$ ；
2. 进一步，根据MPC性能文件**PPD**从 $\hat{\mathcal{P}}$ 选取性能最优的函数；
3. 最后，利用生成代码模板**OPPE**，并生成后端MPC协议对应的代码。

## 2. 方案设计

**符号和假设：**令 $F(x)$ 表示目标浮点数连续函数， $[a, b]$ 表示近似区间；候选近似定点数多项式簇 $\hat{\mathcal{P}} = \{\hat{p}_k^m\}$ ，其中 $\hat{p}_k^m$ 表示该多项式在 $[a, b]$ 上分为 $m$ 段 $[w_0, w_1, \dots, w_m]$  ( $w_0 = a, w_m = b$ )，每一段 $[w_{j-1}, w_j]$ 有近似多项式 $\hat{p}_k^j(\hat{x}) = \sum_{i=0}^k \hat{c}_i \hat{x}^i$ 。当 $j$ 不太重要时，本文忽略 $j$ 的描述。 $\hat{\cdot}$ 表示 $\langle n, f \rangle$ -FXP定点数，其中 $n$ 为全部比特位长， $f$ 为小数部分比特位长。

### 2.1 非线性近似

非线性近似模块分为FitPiecewise和FitOnePiece两个主要模块。

#### 2.1.1 FitPiecewise

如算法1所示，该模块采用递归的方法对每一段调用FitOnePiece进行近似。如果当前分段无法达到近似精度，则进对当前分段进一步分为小段进行近似。最后的结果，为了减少分段数量，则尝试将相邻的分段合并。

#### 2.1.2 FitOnePiece

该部分是NFGen近似算法的核心，目标是针对一段进行多项式近似。给定 $F(x)$ ，近似定点数多项式 $\hat{p}_k(x) = \sum_{i=0}^k \hat{c}_i \hat{x}^i$ 的目标是

$$\text{Minimize } \max_{\hat{x} \in [a, b]} |F(\hat{x}) - \hat{p}_k(x)|$$

---

**Algorithm 2: FitOnePiece Algorithm**

---

**Input** : Target function  $F(x)$ , domain  $[a, b]$  and order  $k$ .  
**Return**: Feasible discrete polynomial  $\hat{p}_k$  or Null.

```
1  $\bar{k} \leftarrow \text{ConstrainK}([a, b], \langle n, f \rangle)$  /* 1) Constrain k */
   /* 2) Fit best polynomial in FLP space */
2 Maximum representable points  $N \leftarrow \frac{b-a}{2^{-f}}$ ;
3 if  $N > \bar{k} + 1$  then
4   |  $p_{\bar{k}} \leftarrow \text{Cheby-Interpolation}(F, [a, b], \bar{k})$ 
5 else
6   |  $\bar{k} = N - 1$ ;
7   |  $p_{\bar{k}} \leftarrow \text{Lagrange-Interpolation}(F, N \text{ feasible points and } \bar{k})$ 
8 end
   /* 3) & 4) Convert to FXP space */
9  $\hat{p}_{\bar{k}} \leftarrow \text{ScalePoly}(p_{\bar{k}}, [a, b])$  (Algo 5);
10  $\hat{p}_{\bar{k}} \leftarrow \text{ResidualBoosting}(\hat{p}_{\bar{k}}, F, [a, b])$  (Algo 6);
11  $\hat{p}_k$ : Expand coefficients and scaling factors of  $\hat{p}_{\bar{k}}$  to  $k$ , filling 0;
   /* 5) Check accuracy, return valid  $\hat{p}_k$  or Null */
12 Sampled number  $N_s \leftarrow \min(MS, N)$ ;
13  $\hat{X} \leftarrow \text{FLPsimFXP}(\text{Linspace}([a, b], N_s))$ ;
14 if  $\max_{\hat{x} \in \hat{X}} |\hat{p}_k(\hat{x}) - F(\hat{x})|_d < \epsilon$  then
15   | Return:  $\hat{p}_k$ ;
16 Return: Null;
```

---

在算法2的近似计算中，首先需要解决确定合适的 $k$ ，以尽可能避免溢出问题：在 $|\hat{x}|$ 过大时， $\hat{x}^k$ 可能会上溢出，在 $|\hat{x}| \rightarrow 0$ 过小时， $\hat{x}^k$ 可能会下溢出，尤其是 $k$ 过大时。为了解决该问题，本文提出了ContrainK算法。该方法的核心思想如下：

1. 为了防止上溢出，需要在 $|\hat{x}|_{\max} > 1$ 时保证 $(|\hat{x}|_{\max})^{k_O} \leq 2^{n-f-1} \Rightarrow k_O \leq \frac{n-f-1}{\log_2 |\hat{x}|_{\max}}$ ;
2. 下溢出的情况则复杂一些：如果 $0 \in [a, b]$ ，那么存在 $|\hat{x}| \rightarrow 0$ 。此时，令 $k_U = 3$ ；否则当 $|\hat{x}|_{\min} < 1$ 时，需要满足 $|\hat{x}|_{\min}^{k_U} \geq 2^{-f} \Rightarrow k_U \leq \frac{f}{-\log_2 |\hat{x}|_{\min}}$ 。最后 $\bar{k} = \min(k, k_O, k_U)$ 具体算法如下：

---

**Algorithm 3: ConstraiK**

---

```
1 Function ConstraiK(domain  $[a, b]$ , FXP format  $\langle n, f \rangle$ ):  
2    $|\hat{x}|_{max} \leftarrow \max(|a|, |b|)$  and  $|\hat{x}|_{min} \leftarrow \min(|a|, |b|)$  ;  
3    $k_O \leftarrow k$  if  $(|\hat{x}|_{max} < 1)$  else  $\frac{n-f-1}{\log_2(|\hat{x}|_{max})}$  ;  
4   If  $a \cdot b < 0$  then  $k_U \leftarrow 3$ ;  
5   Else  $k_U \leftarrow k$  if  $(|\hat{x}|_{min} > 1)$  else  $\frac{f}{-\log_2(|\hat{x}|_{min})}$  ;  
   Return: Maximum feasible  $\bar{k} \leftarrow \min(k, k_O, k_U)$ 
```

---

确定 $\bar{k}$ 之后，则在 $[a, b]$ 内进行采点，进行插值计算得到浮点数近似多项式，进而将浮点数近似多项式转化为定点数。转化时则会面临如下两个挑战：

**系数 $\hat{c}_i$ 下溢出**：当系数 $|\hat{c}_i|$ 过小时，需要在 $f$ 比特的高位部分保留过多的0，损失了高位的比特，而且当 $|\hat{c}_i| < 2^{-f}$ 会引起下溢出。更严重的当 $i \rightarrow k$ 时， $|c_i|$ 可能越小；

**近似精度损失**：另一方面，将浮点转化为定点数，舍弃 $f + 1$ 位及其之后的小数部分，会损失大量精度。

为了尽可能解决上述问题，NFGen提出了如下策略：

**利用放缩因子增大表示范围**：为了缓解系数下溢出问题，本文提出将浮点数系数 $c_i$ 转化为两个定点数 $(\hat{c}_i, \hat{s}_i)$ 使得 $c_i \approx \hat{c}_i \hat{s}_i$ ，其中 $\hat{s}_i \leq 1$ 是一个放缩因子。从而使得 $\hat{c}_i$ 保留尽可能多的高比特位。不过，本文也需要保证：

1.  $\hat{c}_i$ 不能太大，以免 $\hat{c}_i \hat{x}^k$ 上溢出，即 $\hat{c}_i \hat{x}^k < 2^{n-f-1}$ ；
2.  $\hat{s}_i$ 是一个合法的FXP且 $0 < \hat{s}_i \leq 1$ 。

具体算法如下：

---

**Algorithm 5:** ScalePoly :  $p_k \rightarrow \hat{p}_k$ 

---

**Input** :  $p_k = \sum_{i=0}^{i=k} (c_i \cdot x^i)$  in continuous space, domain  $[a, b]$ .

**Return**:  $\hat{p}_k = \sum_{i=0}^{i=k} (\hat{c}_i \cdot x^i \cdot \hat{s}_i)$  in discrete space.

1 Character  $\hat{x} \leftarrow \max(|a|, |b|)$ , most likely to overflow ;

2 **for**  $i \leftarrow 0$  **to**  $k$  **do**

3      $\hat{c}_i, \hat{s}_i \leftarrow \text{ScaleC}(c_i, \langle n, f \rangle, i, \hat{x})$  ;

4 **end**

5 **Return**  $\hat{p}_k$ .

6 **Function** ScaleC( $c, \langle n, f \rangle$ , order  $k$  and  $\hat{x}$ ):

7      $\hat{s}_{CUF} \leftarrow 2^{-f}$  ;

8      $\hat{s}_{COF} \leftarrow \text{FLPsimFXP}(\frac{c\hat{x}^k}{2^{n-f-1}}, n, f)$  ;

9      $\hat{s} \leftarrow \min \{ \max(\hat{s}_{CUF}, \hat{s}_{COF}), 1 \}$  ;

10      $\hat{c} \leftarrow \text{FLPsimFXP}(\frac{c}{\hat{s}}, n, f)$  ;

11     **Return**  $\hat{c}, \hat{s}$  ;

---

其中FLPsimFXP如下:

---

**Algorithm 4:** FLPsimFXP :  $x \rightarrow \hat{x}$ 

---

**Input** :  $x \in \mathbb{R}$  and FXP format  $\langle n, f \rangle$ .

**Return**:  $\hat{x}$

1 **If** ( $|x| > 2^{n-f-1}$ ): **Return**:  $2^{n-f-1}$  ;

2 **If** ( $|x| < 2^{-f}$ ): **Return**: 0 ;

3 **Return**:  $\text{round}_2(x, f)$

---

**利用残差提升精度**: 对于目标函数和近似函数 $\hat{p}_k(x)$ , 定义残差函数 $R(x) = F(x) - \hat{p}_k(x)$ 。进一步, 本文再利用多项式 $\hat{r}_{k'}(x)$ 近似估计 $R(x)$ , 并进一步更新 $\hat{p}_k(x)$ 为 $\hat{p}_k(x) + \hat{r}_{k'}(x)$ , 其中 $k' < k$ 。具体算法构造如下:

---

**Algorithm 6: ResidualBoosting**

---

**Input** :  $\hat{p}_k$  in discrete space, target  $F(x)$  and domain  $[a, b]$ .

**Return**:  $\hat{p}_k^*$  in discrete space.

```
1  $\hat{p}_k^* \leftarrow \hat{p}_k, R \leftarrow F - \hat{p}_k^*$  ;
2 Sample number  $N_s \leftarrow \min(\text{Max samples } MS, \text{All points } \frac{b-a}{2^{-f}})$  ;
3  $\hat{X} \leftarrow \text{FLPsimFXP}(\text{Linspace}([a, b], N_s))$  ;
4 for  $k' \leftarrow k - 1$  to 0 do
5    $r_{k'} \leftarrow \text{Cheby-Interpolation}(R, [a, b], k')$  ;
6    $\hat{p}_k^{tmp} \leftarrow \text{Boost}(\hat{p}_k^*, r_{k'}, [a, b])$ ;
7   /* Boost when benefit exist. */
8   if  $(\max_{\hat{x} \in \hat{X}} |F(\hat{x}) - \hat{p}_k^{tmp}(\hat{x})|_d < \max_{\hat{x} \in \hat{X}} |F(\hat{x}) - \hat{p}_k^*(\hat{x})|_d)$  then
9      $\hat{p}_k^* = \hat{p}_k^{tmp}, R = F - \hat{p}_k^*$  ;
10  end
11 Return:  $\hat{p}_k^*$ 

11 Function  $\text{Boost}(p_{k'}, r_{k'}, k \geq k' \text{ with domain } [a, b])$ :
12    $p_{k'}(x) = \sum_{i=0}^{k'} (\hat{c}_i^{(\hat{p}_k)} \cdot \hat{s}_i^{(\hat{p}_k)} + c_i^{(r_{k'})}) \cdot x^i$  ;
13    $\hat{p}_{k'} \leftarrow \text{ScalePoly}(p_{k'}, [a, b])$  ;
14    $\hat{p}_k(x) = \sum_{i=0}^{k'} (\hat{c}_i^{(\hat{p}_{k'})} \cdot x^i \cdot \hat{s}_i^{(\hat{p}_{k'})}) + \sum_{i=k'+1}^k (\hat{c}_i^{(\hat{p}_k)} \cdot x^i \cdot \hat{s}_i^{(\hat{p}_k)})$  ;
15   Return:  $\hat{p}_k$ 
```

---

最后，算法2在定义域内采样一些随机点，测试近似多项式是否满足精度要求。

## 2.2 OPPE设计



---

**Algorithm 7: OPPE Algorithm (OPPE)**

---

**Config** : Three parts plaintext parameters of  $\hat{p}_k^m$ :  $\hat{W}$  (without endpoint  $\hat{w}_m$ ),  $C = \{\hat{c}_{j,i}\}$  and  $S = \{\hat{s}_{j,i}\}$ .

**Input** : Secret input  $[\hat{x}]$ .

**Return**: The secret evaluation result of  $[\hat{p}_k^m(\hat{x})]$ .

```
1 [comp]  $\leftarrow$  GT( $[\hat{x}]$ ,  $\hat{W}$ ) # compare  $x$  with each break point. ;
2 [mask]  $\leftarrow$  ADD([comp], -leftshift([comp], 1)) ;
3 for  $i \leftarrow 0$  to  $k - 1$  do
4   | [coeff] $_i \leftarrow \sum_{j=0}^{\hat{m}-1}$  MUL([mask] $_j$ ,  $\hat{c}_{j,i}$ ) ;
5   | [scaler] $_i \leftarrow \sum_{j=0}^{\hat{m}-1}$  MUL([mask] $_j$ ,  $\hat{s}_{j,i}$ ) ;
6 end
7 [xterm]  $\leftarrow$  CalculateKx( $[\hat{x}]$ ,  $k$ ) ;
8 Return  $\sum_{i=0}^{\hat{m}-1}$  (MUL(MUL([coeff] $_i$ , [xterm] $_i$ ), [scaler] $_i$ );
9 Function CalculateKx( $[\hat{x}]$ ,  $k$ ):
   | /* Calculate  $[1, [\hat{x}], [\hat{x}]^2, \dots, [\hat{x}]^k]$  */
10  | shift  $\leftarrow$  1, [res]  $\leftarrow$  [1, tail( $[\hat{x}]$ ,  $k$ )] /* repeat  $[\hat{x}]$   $k$  times */
11  | while shift <  $k$  do
12  |   | [res] $_{\text{shift}}$  = MUL([res] $_{\text{shift}}$ , [res] $_{-\text{shift}}$ );
13  |   | shift  $\times$  = 2 ;
14  | end
15  | Return [res] ;
```

---

如算法7所示，多项式的安全计算遵循底层协议的计算，并且本文也利用了SIMD等MPC库广泛支持的优化算法提升性效率。

### 3. 实验评估

本文做了大量的实验，本博客只选择其中两部分说明：

Table 2: Examples in Performance Evaluations

$F(x)$	$S$	$\checkmark$	$(k, m)$	$T_{\text{Fit}}$	Communication (MB)			Computation time (ms)		
					Base	NFGen	Save	Base	NFGen	SpeedUp
$\text{sigmoid}(x) = \frac{1}{1+e^{-x}}$ $x \in [-50, +50], F(x) \in [0.0, 1.0]$ Non-linear building-blocks: 2	A	$\times$	(10, 8)	4.3	618	263	<b>60%</b>	147	23	<b>6.3×</b>
	B	$\checkmark$	(7, 10)	3.5	1	1	-5%	137	124	<b>1.1×</b>
	C	$\checkmark$	(5, 14)	3.5	4	4	-5%	1155	802	<b>1.4×</b>
	D	$\checkmark$	(5, 14)	3.5	18	19	-8%	1863	1525	<b>1.2×</b>
	E	$\checkmark$	(5, 14)	3.5	212	308	-45%	75949	106857	<b>0.7×</b>
	F	$\checkmark$	(5, 14)	3.5	207	234	-13%	9732	11224	<b>0.9×</b>
$\text{tanh}(x) = \frac{e^x - e^{-x}}{e^x + e^{-x}}$ $x \in [-50, +50], F(x) \in [-1.0, 1.0]$ Non-linear building-blocks: 3	A	$\times$	(9, 8)	4.5	1876	216	<b>90%</b>	335	21	<b>15.7×</b>
	B	$\times$	(5, 9)	3.2	13	1	<b>92%</b>	800	80	<b>10.0×</b>
	C	$\times$	(5, 9)	3.2	19	3	<b>83%</b>	5901	597	<b>9.9×</b>
	D	$\times$	(5, 9)	3.2	64	14	<b>78%</b>	8882	1115	<b>8.0×</b>
	E	$\times$	(5, 9)	3.2	996	197	<b>80%</b>	337530	68550	<b>4.9×</b>
	F	$\times$	(5, 9)	3.2	966	150	<b>84%</b>	45486	7309	<b>6.2×</b>
$\text{soft\_sign}(x) = \frac{x}{1+ x }$ $x \in [-50, 50], F(x) \in [-1.0, 1.0]$ Non-linear building-blocks: 2	A	$\times$	(8, 8)	1.9	518	231	<b>60%</b>	131	21	<b>6.1×</b>
	B	$\checkmark$	NA	1.3	1	1	0%	79	78	<b>1.0×</b>
	C	$\checkmark$	NA	1.3	2	2	0%	451	437	<b>1.0×</b>
	D	$\checkmark$	NA	1.3	8	8	0%	741	753	<b>1.0×</b>
	E	$\checkmark$	NA	1.3	52	52	0%	15507	15520	<b>1.0×</b>
	F	$\checkmark$	NA	1.3	49	49	0%	2315	2373	<b>1.0×</b>
$\text{Normal\_dis}(x) = \frac{e^{-\frac{x^2}{2}}}{\sqrt{2\pi}}$ $x \in [-10, +10], F(x) \in [0.0, 0.4]$ Non-linear building-blocks: 1	A	$\times$	(8, 12)	5.2	420	295	<b>30%</b>	67	24	<b>2.8×</b>
	B	$\times$	(8, 12)	3.6	3	2	<b>45%</b>	4906	156	<b>31.5×</b>
	C	$\times$	(8, 12)	3.6	7	5	<b>27%</b>	5029	970	<b>5.2×</b>
	D	$\times$	(8, 12)	3.6	24	23	<b>5%</b>	6588	1846	<b>3.6×</b>
	E	$\times$	(5, 22)	3.6	257	481	-87%	89740	166328	<b>0.5×</b>
	F	$\times$	(8, 12)	3.6	249	301	-21%	14908	14861	<b>1.0×</b>
$Bs\_dis(x) [5] = \left( \frac{\sqrt{x} + \sqrt{\frac{1}{x}}}{2\gamma x} \right) \phi \left( \frac{\sqrt{x} - \sqrt{\frac{1}{x}}}{\gamma} \right)$ $\gamma = 0.5, x \in [10^{-6}, 30], F(x) \in [0.0, 0.2]$ Non-linear building-blocks: 3	A	$\times$	(10, 8)	4.0	2815	263	<b>90%</b>	630	22	<b>29.1×</b>
	B	$\times$	(7, 11)	3.2	13	1	<b>89%</b>	11463	133	<b>86.1×</b>
	C	$\times$	(5, 16)	3.2	23	5	<b>79%</b>	14631	915	<b>16.0×</b>
	D	$\times$	(5, 16)	3.2	65	22	<b>66%</b>	19167	1763	<b>10.9×</b>
	E	$\times$	(5, 16)	3.2	741	352	<b>53%</b>	239549	122325	<b>2.0×</b>
	F	$\times$	(5, 16)	3.2	718	268	<b>63%</b>	42157	13136	<b>3.2×</b>

\*  $T_{\text{Fit}}$  is the time for  $\hat{p}_k^m$  fitting in seconds.  $\checkmark$  indicates whether baseline achieves the accuracy requirements.

表2中A-F表示不同的开源协议库。对于一些表中的非线性函数计算，NFGen大多数获得了在精度、通信和时间方面的提升。但是有些协议库对某些函数进行了高度优化，NFGen跟这些方案比还略逊色。

另一个实验，则是针对LR回归。



**Table 6: Logistic Regression Speedups**

Dataset	Method	Train(sec)	Test(sec)
Adult [23] (48,842 × 65)	PrivPy	413.1	1.8
	NFGen	43.6 / 9.5×	0.8 / 2.3×
Bank [34] (41,188 × 63)	PrivPy	72.8	1.6
	NFGen	20.4 / 3.6×	0.8 / 2.0×
Branch [36] (400,000 × 480)	PrivPy	703.8	12.2
	NFGen	199.9 / 3.5×	6.9 / 1.8×

和PrivPy相比，性能方面获得了很好的提升。  
其他实验和细节内容见原文。